

## Pengawalan Lengkung Kubik Nisbah Alternatif

**Azhar Ahmad**

Kolej Matrikulasi Pulau Pinang  
Pongsu Seribu, Kepala Batas, Pulau Pinang  
Malaysia

**Jamaludin Md. Ali**

Pusat Pengajian Sains Matematik  
Universiti Sains Malaysia, 11800, Minden  
Pulau Pinang.

**Abstrak** Dalam kertas ini perbincangan berkisar kepada tajuk mengawal lengkung kubik nisbah alternatif secara geometri untuk rekabentuk geometri berbantuan komputer (RGBK). Dengan kaedah ini kita mampu mengekalkan lengkung yang cembung dan berlekok balas, dengan menentukan kekangan pemberat terhadap titik kawalan. Lengkung nisbah kubik dicirikan oleh dua titik hujung, dua tangen hujung dan titik perantaraan. Kajian menunjukkan pemberat berperanan mengawal bentuk lengkung. Dengan menggunakan koordinat barispusat, pemahaman persamaan dan ketaksamaan menjadi lebih mudah dan senang diubahsuai.

**Katakunci** lengkung kubik nisbah alternatif, pengawalan, koordinat barispusat.

**Abstract** In this paper the discussion is around the topic of geometrical control of rational alternative cubic curve in computer aided geometric design (CAGD). With this method we are able to preserve convexity of curves and inflecting curves, by determining the constraints of corresponding scalar weights with respect to the control points. The rational cubic curve is characterised by two end points, two end slopes and an intermediate point. This study shows the weights play important role in controlling the shape of curve segment. By using the barycentric coordinate, it will make related equations and inequations easier to understand and to be manipulated.

**Keywords** rational alternative cubic curve, controlling, barycentric coordinate

## 1 Pengenalan

Kertas ini membincangkan berkenaan satu kaedah pengawalan bentuk lengkung satah secara geometri ke atas satu perwakilan lengkung berparameter iaitu lengkung kubik nisbah alternatif. Kaedah yang dipertimbangkan bagi kajian ini diperkenalkan oleh Jamaludin [1]. Dengan kaedah ini, kita dengan mudah dapat mengawal secara geometri suatu tembereng lengkung supaya ia cembung atau berleengkok balas.

Pembinaan lengkungan adalah berasaskan daripada tiga syarat iaitu tembereng lengkung menginterpolasi dua titik hujung, dua tangen hujung dan satu titik tertentu yang disebut sebagai titik perantaraan. Pengawalan bentuknya hanya akan dilakukan menerusi perubahan nilai pemberat-pemberat yang sejajar dengan titik-titik kawalan.

Kajian menunjukkan bahawa pemberat-pemberat titik hujung berperanan kepada pembinaan lengkung yang menginterpolasi syarat di atas. Manakala pemberat-pemberat pen dalaman pula bergantung kepada pemberat-pemberat titik hujung untuk menentukan sama ada lengkung adalah berkeadaan cembung atau berleengkokbalas. Penggunaan koordinat baris pusat dalam kertas ini bertujuan meringkaskan persamaan-persamaan yang diperolehi dan memudahkan kita memanipulasikan persamaan-persamaan yang ada.

## 2 Lengkung kubik nisbah alternatif

Persamaan lengkung kubik nisbah alternatif oleh Jamaludin[2] diberikan seperti berikut

$$r(t) = \frac{F_0(t)w_0P_0 + F_1(t)w_1P_1 + F_2(t)w_2P_2 + F_3(t)w_3P_3}{F_0(t)w_0 + F_1(t)w_1 + F_2(t)w_2 + F_3(t)w_3}; \quad 0 \leq t \leq 1 \quad (1)$$

dengan fungsi pengadun

$$\begin{aligned} F_0(t) &= (1-t)^2(1+(2-\alpha)t) \\ F_1(t) &= \alpha(1-t)^2t \\ F_2(t) &= \beta t^2(1-t) \\ F_3(t) &= t^2(1+(2-\beta)(1-t)) \end{aligned} \quad (2)$$

dengan  $\alpha$  dan  $\beta$  adalah parameter bentuk dengan kedua-duanya tidak sifar. Manakala  $w_0, w_1, w_2, w_3$  adalah pemberat yang selaras dengan titik kawalan  $P_0, P_1, P_2, P_3$ . Bagi kertas ini  $P_1 = P_2 = H$ , ini dilakukan bagi mengurangkan pemalar-pemalar anu dan persamaan lengkung dapat ditulis semula sebagai

$$r(t) = \frac{F_0(t)w_0P_0 + F_1(t)w_1H + F_2(t)w_2H + F_3(t)w_3P_3}{F_0(t)w_0 + F_1(t)w_1 + F_2(t)w_2 + F_3(t)w_3}; \quad 0 \leq t \leq 1 \quad (3)$$

Perbincangan tidak menghadkan nilai tertentu bagi pemberat. Cuma satu andaian yang digunakan adalah penyebut bagi persamaan (3) tidak sifar, ini kerana  $r(t)$  akan tidak tertakrif pada keadaan tersebut.

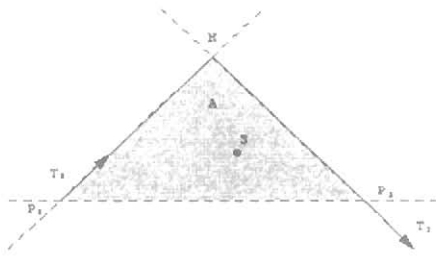
## 3 Kawalan secara geometri lengkung kubik nisbah alternatif

Teknik pengawalan lengkung boleh dihasilkan mengikut langkah-langkah berikut.

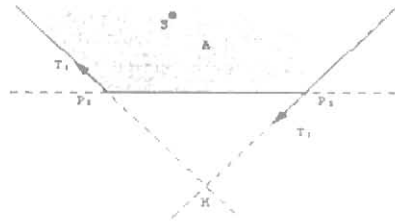
Langkah 1:

Langkah pertama adalah mendapatkan hubungan-hubungan antara syarat yang diberi dengan titik-titik kawalan perwakilan lengkung secara geometri. Ini bertujuan untuk memperoleh kaitan antara pemalar-pemalar yang ada serta dapat mengurangkan penggunaan pemalar anu.

Daripada syarat pembinaan lengkung, dua kes yang dipertimbangkan adalah seperti ditunjukkan dengan Rajah 3.1 dan 3.2. Kes 1 adalah apabila sudut putaran  $\theta$  iaitu sudut di antara vektor unit tangen  $T_0$  dan  $T_1$  berada dalam selang  $0 < \theta < 180^\circ$ . Manakala kes 2 adalah apabila sudut putaran dalam selang  $180^\circ < \theta < 360^\circ$ . Biarkan titik-titik hujung sebagai  $P_0(x_0, 0), P_3(x_3, 0)$ , dengan  $x_0 < x_3$  serta vektor unit tangen adalah  $T_0 = (m_0, n_0)$  dan  $T_1 = (m_1, n_1)$ , di mana  $n_1, n_0 \neq 0$  dan  $T_0$  adalah tidak selari dengan  $T_1$ . Dengan itu  $H$  yang merupakan titik kawalan kedua diperolehi dengan mudah. Titik perantaraan pula disimbolkan sebagai  $S(x_s, y_s)$ .



Rajah 3.1



Rajah 3.2

Dengan menggunakan kaedah vektor, kita andaikan  $\overrightarrow{P_0H} = \lambda_0 T_0$  dan  $\overrightarrow{P_3H} = \lambda_1 T_1$  dengan  $\lambda_0$  dan  $\lambda_1$  adalah skalar. Titik  $H$  boleh dinyatakan sebagai

$$H(x_0 + \lambda_0 m_0, \lambda_0 n_0) \quad @ \quad H(x_3 + \lambda_1 m_1, \lambda_1 n_1) \tag{4}$$

Bandingan koordinat  $H$  membolehkan  $\lambda_0$  dan  $\lambda_1$  diperolehi sebagai

$$\lambda_0 = \frac{(x_3 - x_0)n_1}{m_0 n_1 - m_1 n_0} \quad \text{dan} \quad \lambda_1 = \frac{(x_3 - x_0)n_0}{m_0 n_1 - m_1 n_0}$$

Kesimpulannya koordinat  $H$  boleh ditentukan secara terus apabila koordinat  $P_0, P_3, T_0$  dan  $T_1$  diketahui.

Olehkerana koordinat barispusat digunakan di dalam kertas ini, kaedah memperoleh koordinat titik  $S$  adalah seperti berikut. Merujuk kepada Rajah 3.1 dan 3.2, bagi sebarang titik  $S$  dalam rantau  $A$  pada segitiga  $P_0HP_3$  ia boleh dinyatakan dalam gabungan linear koordinat barispusat (Farin, [3]) sebagai

$$S = (x_s, y_s) = \tau_0 P_0 + \tau_1 H + \tau_2 P_3;$$

dengan  $\tau_0 + \tau_1 + \tau_2 = 1$ . Nilai  $(\tau_0, \tau_1, \tau_2)$  boleh diperolehi menerusi penyelesaian sistem

persamaan linear berikut

$$\begin{aligned}x_s &= \tau_0 x_0 + \tau_1(x_0 + \lambda_0 m_0) + \tau_2 x_3 \\y_s &= \tau_1(\lambda_0 n_0) \\1 &= \tau_0 + \tau_1 + \tau_2\end{aligned}$$

Untuk kes 1, semua koordinat baris pusat bagi titik  $S$  di dalam segitiga  $P_0HP_3$  adalah bernilai positif. Manakala bagi kes 2 pula, koordinat  $\tau_1$  bagi sebarang titik  $S$  dalam rantau  $A$  adalah negatif sementara  $\tau_0$  dan  $\tau_2$  adalah positif.

*Langkah 2:*

Oleh kerana peranan parameter  $\alpha$  dan  $\beta$  pemberat-pemberat adalah untuk menentukan bentuk sesuatu lengkungan, maka langkah kedua adalah mendapatkan persamaan yang melibatkan parameter  $\alpha, \beta$  serta pemberat-pemberat. Proses ini boleh dilakukan melalui pembinaan sistem persamaan linear dari syarat lengkung melalui titik perantaraan  $S$ .

Bagi memudahkan pengiraan, titik perantaraan  $S$  dipilih pada ketika  $t = 0.5$ , ini boleh dilakukan kerana lengkung kubik nisbah adalah tak berubah kepada perskalaan pemberat dan ia juga tak berubah dengan transformasi bilinear (Farin, [3]), (March [4]). Apabila  $t = 0.5$ , koordinat titik  $S$  adalah

$$S(x_s, y_s) = r(0.5) = \frac{(4 - \alpha)w_0P_0 + \alpha w_1H + \beta w_2H + (4 - \beta)w_3P_3}{(4 - \alpha)w_0 + \alpha w_1 + \beta w_2 + (4 - \beta)w_3};$$

Koordinat bagi  $S$  dapat dinyatakan seperti berikut dengan menggantikan koordinat titik-titik hujung dan  $H$  dari (4)

$$\begin{aligned}x_s &= \frac{(4 - \alpha)w_0x_0 + (\alpha w_1 + \beta w_2)(x_0 + \lambda_0 m_0) + (4 - \beta)w_3x_3}{(4 - \alpha)w_0 + \alpha w_1 + \beta w_2 + (4 - \beta)w_3} \\y_s &= \frac{(\alpha w_1 + \beta w_2)\lambda_0 n_0}{(4 - \alpha)w_0 + \alpha w_1 + \beta w_2 + (4 - \beta)w_3}\end{aligned}$$

Dengan mengandaikan bahawa penyebutnya

$$(4 - \alpha)w_0 + \alpha w_1 + \beta w_2 + (4 - \beta)w_3 = 1 \quad (5)$$

Diperolehi

$$x_s = (4 - \alpha)w_0x_0 + (\alpha w_1 + \beta w_2)(x_0 + \lambda_0 m_0) + (4 - \beta)w_3x_3 \quad (6)$$

dan

$$y_s = (\alpha w_1 + \beta w_2)\lambda_0 n_0. \quad (7)$$

Dengan menggunakan (7) yang ditulis sebagai

$$\alpha w_1 + \beta w_2 = \frac{y_s}{\lambda_0 n_0} \quad (8)$$

dan menggantikannya ke dalam (5) dan (6), penyelesaian kedua-duanya membolehkan  $\alpha$  dan  $\beta$  ditulis sebagai

$$\alpha = \frac{4w_0n_1(x_3 - x_0) - n_1(x_3 - x_s) - y_s m_1}{w_0 n_1(x_3 - x_0)} \quad (9)$$

$$\beta = \frac{4w_3n_0(x_3 - x_0) - n_0(x_s - x_0) - y_s m_0}{w_3 n_0(x_3 - x_0)} \quad (10)$$

Ketiga-tiga persamaan iaitu (8), (9) dan (10) adalah kunci utama bagi menentukan kekangan bagi pemberat untuk bentuk-bentuk lengkung yang diinginkan. Selanjutnya dengan penggantian koordinat barispusat, persamaan (8), (9) dan (10) boleh diringkaskan sebagai

$$\alpha w_1 + \beta w_2 = \tau_1 \tag{11}$$

$$\alpha = 4 - \frac{\tau_0}{w_0} \tag{12}$$

$$\beta = 4 - \frac{\tau_2}{w_3} \tag{13}$$

*Langkah 3:*

Langkah seterusnya adalah memparameterkan semula lengkung kubik nisbah dengan parameter  $u$  daripada hubungan  $t = \frac{u}{1+u}$ . Ini bertujuan bagi memudahkan kita menganalisa ciri-ciri lengkung yang dibina. Dengan penggantian parameter tersebut, daripada (3) komponen-komponen bagi  $r(u)$  diberi sebagai

$$x(u) = \frac{[1 + u(3 - \alpha)] w_0 x_0 + (\alpha u w_1 + \beta u^2 w_2)(x_0 + \lambda_0 m_0) + [u^2(u + 3 - \beta)] w_3 x_3}{[1 + u(3 - \alpha)] w_0 + \alpha u w_1 + \beta u^2 w_2 + [u^2(u + 3 - \beta)] w_3} \tag{14}$$

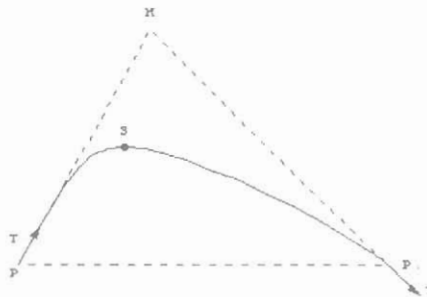
$$y(u) = \frac{(\alpha u w_1 + \beta u^2 w_2) \lambda_0 n_0}{[1 + u(3 - \alpha)] w_0 + \alpha u w_1 + \beta u^2 w_2 + [u^2(u + 3 - \beta)] w_3} \tag{15}$$

*Langkah 4:*

Langkah terakhir adalah menaksirkan ciri-ciri lengkung daripada gambaran geometri bagi mendapatkan kekangan bagi pemberat  $w_0$  dan  $w_3$  yang sesuai dan seterusnya mendapatkan kekangan bagi pemberat  $w_1$  dan  $w_2$  untuk kawalan bentuk lengkungan.

## 4 Lengkung cembung melalui titik perantaraan

Rajah 4.1 menunjukkan suatu tembereng lengkungan cembung yang melalui  $S$ , menginterpolasikan titik-titik hujung dan tangen-tangen hujung. Berpandukan gambarajah tersebut ciri pertama lengkung cembung yang ingin dibina adalah lengkung tersebut tidak bersilang dengan garis selari dengan  $T_0$ .



Rajah 4.1 : Tembereng lengkung cembung melalui titik perantaraan S

Jika diandaikan bahawa lengkung bersilang dengan garis yang selari dengan tangen hujung  $T_0$  maka wujud suatu nilai  $u$  tertentu di mana hasil darab vektor  $T_0$  dengan  $[r(u) - P_0]$  adalah sifar

$$\begin{aligned} T_0 \times [r(u) - P_0] &= 0 \\ y(u)m_0 - [x(u) - x_0]n_0 &= 0 \\ \frac{-n_0 [u^2(u + 3 - \beta)(x_3 - x_0)]}{[1 + u(3 - \alpha)]w_0 + \alpha uw_1 + \beta u^2 w_2 + [u^2(u + 3 - \beta)]w_3} &= 0 \end{aligned}$$

Diketahui  $n_0 \neq 0$  dan  $(x_3 - x_0) \neq 0$  maka bagi  $u$  yang bukan sifar, diperolehi

$$u = \beta - 3 \quad (16)$$

Ini menunjukkan bahawa lengkung memotong garis tangen ketika  $u = \beta - 3$ . Jika lengkung tidak bersilang dengan garis yang selari dengan  $T_0$ , maka  $u \leq 0$ . Selang bagi  $\beta$  yang sesuai bagi memuaskan ketaksamaan di atas adalah

$$\beta \leq 3 \quad (17)$$

Dengan cara yang sama untuk ciri kedua iaitu lengkung berbentuk cembung tidak bersilang dengan garis yang selari dengan  $T_1$ . Diperolehi lengkung bersilang dengan garis tangen  $T_1$  pada ketika

$$u = \frac{1}{\alpha - 3} \quad (18)$$

oleh itu kekangan bagi  $\alpha$  yang sesuai bagi memuaskan ketaksamaan di atas adalah

$$\alpha < 3. \quad (19)$$

Seterusnya dengan menggantikan  $\alpha$  daripada (12) kepada (17) serta  $\beta$  daripada (13) digantikan pada (19), kekangan  $w_0$  dan  $w_3$  yang sesuai apabila  $\tau_0$  dan  $\tau_2$  bernilai positif adalah

$$0 < w_0 \leq \tau_0 \quad (20)$$

$$0 < w_3 \leq \tau_2 \quad (21)$$

Ketaksamaan (20) dan (21) ini boleh digambarkan dengan jelas sebagai rantau  $R$  di dalam graf  $w_3$  lawan  $w_0$  (Rajah 4.2). Pemilihan  $(w_0, w_3)$  dari  $R$  akan menghasilkan lengkungan yang menginterpolasi syarat yang diberi.

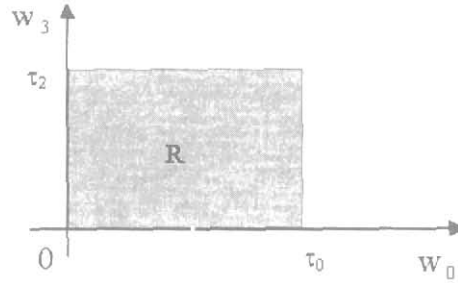
Ciri ketiga bagi suatu lengkung cembung adalah tembereng lengkung tidak akan memotong perentas  $P_0P_3$ . Bermula dengan andaian bahawa lengkung bersilang dengan perentas  $P_0P_3$ , maka  $y(u) = 0$ . Oleh itu daripada persamaan (15)

$$\frac{(\alpha uw_1 + \beta u^2 w_2)\lambda_0 n_0}{[1 + u(3 - \alpha)]w_0 + \alpha uw_1 + \beta u^2 w_2 + [u^2(u + 3 - \beta)]w_3} = 0,$$

$$u(\alpha w_1 + \beta u w_2)\lambda_0 n_0 = 0$$

untuk  $u$  tidak sifar,  $\lambda_0 \neq 0$  dan  $n_0 \neq 0$  maka lengkung bersilang dengan perentas  $P_0P_3$  ketika

$$u = -\frac{\alpha w_1}{\beta w_2}. \quad (22)$$



Rajah 4.2: Graf  $w_3$  lawan  $w_0$

Oleh itu untuk suatu lengkung cembung tidak memotong perentas  $P_0P_3$ , maka  $u < 0$  dan dengan hubungan (11) diperolehi kekangan bagi pemberat  $w_1$  dan  $w_2$  adalah seperti berikut

$$\frac{\tau_1}{\alpha} < w_1 < 0 \text{ apabila } \frac{\tau_1}{\alpha} \text{ bernilai negatif atau } 0 < w_1 < \frac{\tau_1}{\alpha} \text{ apabila } \frac{\tau_1}{\alpha} \text{ adalah positif.} \tag{23}$$

$$- \frac{\tau_1}{\beta} < w_2 < 0 \text{ apabila } \frac{\tau_1}{\beta} \text{ bernilai negatif atau } 0 < w_2 < \frac{\tau_1}{\beta} \text{ apabila } \frac{\tau_1}{\beta} \text{ adalah positif.} \tag{24}$$

Kesimpulannya ialah apabila kita ingin membina suatu lengkung cembung yang menginterpolasi titik-titik hujung dan melalui suatu titik perantaraan, pertamanya kita tentukan pemberat  $w_0$  dan  $w_3$  dari selang (20) dan (21) atau pasangan tertib  $(w_0, w_3)$  daripada rantau  $R$  pada Rajah 4.2. Seterusnya pemilihan nilai  $w_1$  yang bergantung kepada  $\frac{\tau_1}{\alpha}$  dari (23). Susulan itu  $w_2$  akan didapati secara terus melalui persamaan (11) mengikut ketetapan (24). Peranan  $w_1$  dan  $w_2$  adalah untuk menentukan sama ada lengkung tersebut cembung atau berlengkokbalas.

Membina lengkung cembung yang dibincangkan sebelum ini bukanlah pembinaan secara automatik, pemberat  $w_0$  dan  $w_3$  perlu ditentukan terlebih dahulu kemudian diikuti dengan penentuan  $w_2$  atau  $w_1$  daripadanya. Kita boleh mempermudah sedikit dengan memperincikan kekangan  $w_0$  melalui pengkelasan nilai  $\alpha$ , iaitu apabila  $\alpha < 0$  dan  $0 < \alpha \leq 3$ , begitu juga bagi kekangan  $w_3$  ketika  $\beta < 0$  dan  $0 < \beta \leq 3$ . Ini bertujuan untuk mengenalpasti pasangan nilai  $w_1$  dan  $w_2$  yang diperlukan apabila sebarang  $(w_0, w_3)$  dipilih daripada rantau  $R$ . Dari (12) dan (13) hasil pengkelasan adalah seperti berikut,

$$\text{apabila } \alpha < 0 \text{ maka } 0 < w_0 < \frac{1}{4}\tau_0 \text{ dan}$$

$$\text{apabila } 0 < \alpha \leq 3 \text{ maka } \frac{1}{4}\tau_0 < w_0 \leq \tau_0,$$

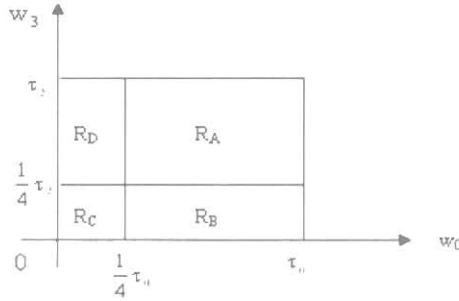
$$\text{apabila } \beta < 0 \text{ maka } 0 < w_3 < \frac{1}{4}\tau_2 \text{ dan}$$

$$\text{apabila } 0 < \beta \leq 3 \text{ maka } \frac{1}{4}\tau_2 < w_3 \leq \tau_2.$$

Merujuk Rajah 4.2, graf  $w_3$  lawan  $w_0$ , kita boleh bahagikan rantau

$$R = \{(w_0, w_3) : 0 < w_0 \leq \tau_0, 0 < w_3 \leq \tau_2\}$$

kepada beberapa rantau kecil, Rajah 4.3



Rajah 4.3: Graf  $w_3$  lawan  $w_0$ , rantau-rantau kecil hasil pengkelasan  $\alpha$  dan  $\beta$

Dengan rantau-rantau berikut,

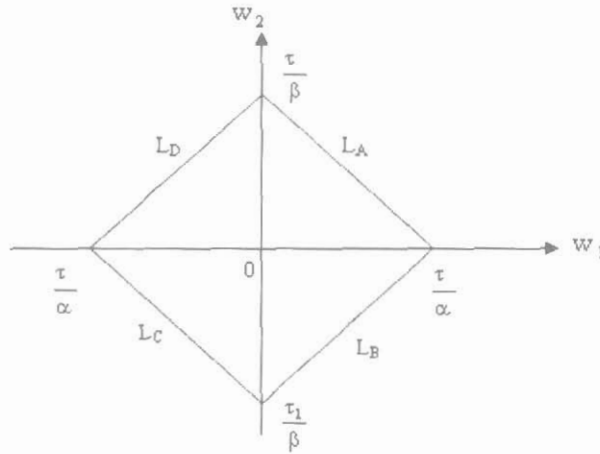
$$\begin{aligned} \text{Rantau } R_A &= \left\{ (w_0, w_3) : \frac{1}{4}\tau_0 < w_0 \leq \tau_0, \frac{1}{4}\tau_2 < w_3 \leq \tau_2 \right\} \\ \text{Rantau } R_B &= \left\{ (w_0, w_3) : \frac{1}{4}\tau_0 < w_0 \leq \tau_0, 0 < w_3 < \frac{1}{4}\tau_2 \right\} \\ \text{Rantau } R_C &= \left\{ (w_0, w_3) : 0 < w_0 < \frac{1}{4}\tau_0, 0 < w_3 < \frac{1}{4}\tau_2 \right\} \\ \text{Rantau } R_D &= \left\{ (w_0, w_3) : 0 < w_0 < \frac{1}{4}\tau_0, \frac{1}{4}\tau_2 < w_3 \leq \tau_2 \right\} \end{aligned} \quad (25)$$

Seterusnya katakan kita ingin membina tembereng lengkung yang cembung merujuk kepada kes 1 (Rajah 3.1), di mana nilai  $\tau_1$  adalah positif. Apabila pemilihan  $(w_0, w_3)$  dibuat daripada rantau  $R_A$ , kita akan memperolehi selang bagi  $w_2$  adalah  $0 < w_2 < \frac{\tau_1}{\beta}$ , kerana  $\alpha$  serta  $\beta$  bernilai positif. Semua nilai  $w_2$  dalam selang tersebut akan menghasilkan  $w_1$  terangkum dalam  $0 < w_1 < \frac{\tau_1}{\alpha}$ , pasangan nilai  $w_1$  dan  $w_2$  daripada hubungan (11) boleh diwakili oleh titik-titik pada tembereng garis  $L_A$  pada graf  $w_2$  lawan  $w_1$ , Rajah 4.4. Dan  $L_A$  boleh ditulis sebagai  $\left\{ (w_1, w_2) : 0 < w_1 < \frac{\tau_1}{\alpha}, 0 < w_2 < \frac{\tau_1}{\beta}, w_2 = \frac{\tau_1 - \alpha w_1}{\beta}, \alpha > 0, \beta > 0 \right\}$ . Sesungguhnya persamaan bagi tembereng  $L_A$  diterbitkan daripada persamaan (11) apabila kita menuliskannya dalam bentuk pintasan iaitu

$$\frac{w_1}{\left(\frac{\tau_1}{\alpha}\right)} + \frac{w_2}{\left(\frac{\tau_1}{\beta}\right)} = 1$$

Pintasan pada paksi  $w_1$  adalah  $\frac{\tau_1}{\alpha}$  dan pintasan pada paksi  $w_2$  pula ialah  $\frac{\tau_1}{\beta}$ . Nilai  $w_1$  serta  $w_2$  tidak tertakrif apabila  $\alpha = 0$  iaitu  $w_0 = \frac{1}{4}\tau_0$  atau apabila  $\beta = 0$  iaitu  $w_3 = \frac{1}{4}\tau_2$ .





Rajah 4.4: Graf  $w_2$  lawan  $w_1$

Begitu juga apabila kita memilih pasangan  $(w_0, w_3)$  daripada rantau  $R_B, R_C$  atau  $R_D$  daripada Rajah 4.3 maka pasangan  $(w_1, w_2)$  pula adalah pada tembereng garis  $L_B, L_C$  atau  $L_D$  daripada Rajah 4.4, dengan

$$\begin{aligned}
 L_B &= \left\{ (w_1, w_2) : 0 < w_1 < \frac{\tau_1}{\alpha}, \frac{\tau_1}{\beta} < w_2 < 0, w_2 = \frac{\tau_1 - \alpha w_1}{\beta}, \alpha > 0, \beta < 0 \right\} \\
 L_C &= \left\{ (w_1, w_2) : \frac{\tau_1}{\alpha} < w_1 < 0, \frac{\tau_1}{\beta} < w_2 < 0, w_2 = \frac{\tau_1 - \alpha w_1}{\beta}, \alpha < 0, \beta < 0 \right\} \\
 L_D &= \left\{ (w_1, w_2) : \frac{\tau_1}{\alpha} < w_1 < 0, 0 < w_2 < \frac{\tau_1}{\beta}, w_2 = \frac{\tau_1 - \alpha w_1}{\beta}, \alpha < 0, \beta > 0 \right\}
 \end{aligned} \tag{26}$$

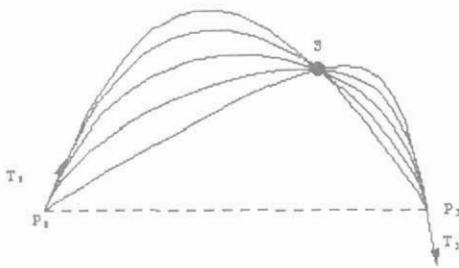
Penentuan di atas adalah bergantung kepada tandaan pada  $\alpha$  dan  $\beta$ . Keseluruhannya akan menghasilkan lengkungan yang berbentuk cembung dan dengan cara ini kita akan lebih mudah menentukan pemberat pendalamannya apabila perubahan pemberat hujung berlaku.

Berbeza daripada keadaan pada kes 1, pembinaan tembereng lengkung cembung yang dilakukan merujuk kepada kes 2 (Rajah 3.2), memerlukan kita memilih  $(w_1, w_2)$  yang berlainan setelah pemilihan  $(w_0, w_3)$  daripada rantau  $R_A, R_B, R_C$  atau  $R_D$ . Ini disebabkan oleh  $\tau_1$  yang bernilai negatif bagi kes 2. Ringkasnya pembinaan lengkungan yang cembung adalah seperti berikut, apabila kita memilih

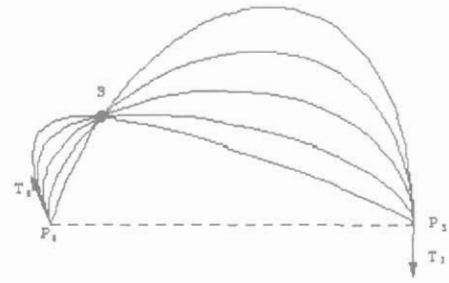
- $(w_0, w_3)$  daripada rantau  $R_A, (w_1, w_2)$  dipilih daripada  $L_C$ .
- $(w_0, w_3)$  daripada rantau  $R_C, (w_1, w_2)$  dipilih daripada  $L_A$ .
- $(w_0, w_3)$  daripada rantau  $R_B, (w_1, w_2)$  dipilih daripada  $L_D$ .
- $(w_0, w_3)$  daripada rantau  $R_D, (w_1, w_2)$  dipilih daripada  $L_B$ .

Rajah 4.5 dan 4.6 menunjukkan beberapa tembereng lengkung cembung yang dibina apabila satu koordinat  $(w_0, w_3)$  ditetapkan dalam rantau  $R$  dan dengan beberapa  $(w_1, w_2)$  daripada

tembereng lengkung yang sama mengikut ketetapan (20) serta (27) yang dinyatakan sebagaimana di atas.



Rajah 4.5



Rajah 4.6

## 5 Lengkung lengkokbalas melalui titik perantaraan

Lengkung berlengkokbalas juga boleh diperolehi apabila sebarang nilai  $(w_0, w_3)$  daripada rantau  $R$  dipilih dan nilai  $(w_1, w_2)$  daripada garis lurus  $\frac{w_1}{\left(\frac{\tau_1}{\alpha}\right)} + \frac{w_2}{\left(\frac{\tau_1}{\beta}\right)} = 1$  tetapi bukan

pada tembereng -tembereng garis  $L_A, L_B, L_C$  atau  $L_D$ . Contohnya, apabila kita memilih nilai  $(w_0, w_3)$  daripada  $R_A$  dan nilai  $(w_1, w_2)$  adalah daripada

$$\left\{ (w_1, w_2) : w_1 < 0, w_2 > \frac{\tau_1}{\beta}, w_2 = \frac{\tau_1 - \alpha w_1}{\beta}, \alpha > 0, \beta > 0 \right\}$$

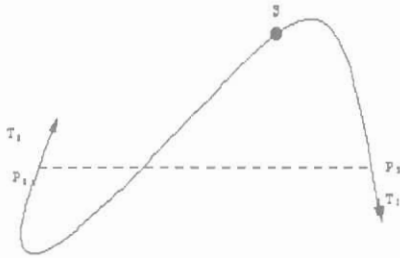
kita akan perolehi lengkung lengkok balas sebagaimana Rajah 5.1. Manakala apabila nilai  $(w_1, w_2)$  adalah daripada

$$\left\{ (w_1, w_2) : w_1 > \frac{\tau_1}{\alpha}, w_2 < 0, w_2 = \frac{\tau_1 - \alpha w_1}{\beta}, \alpha > 0, \beta > 0 \right\}$$

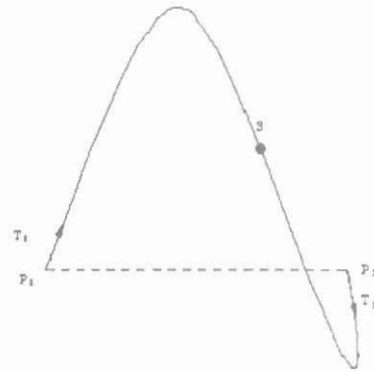
bentuk lengkung lengkokbalas adalah seperti Rajah 5.2. Lengkung yang berlengkokbalas tersebut menginterpolasi titik-titik hujung dan tidak memotong tangen-tangen hujung sebaliknya memintas perentas  $P_0P_3$ . Pelarasan nilai  $(w_1, w_2)$  dalam selangnya akan menghasilkan famili lengkung lengkokbalas yang mempunyai ciri yang sama.

## 6 Kesimpulan

Dengan teknik di atas kita berjaya menentukan kekangan pemberat-pemberat  $w_0, w_1, w_2, w_3$  bagi mengawal lengkung kubik nisbah alternatif yang menginterpolasi dua titik hujung, dua tangen hujung dan satu titik perantaraan. Jelas sekali bahawa pembinaan tembereng lengkung ditentukan oleh pasangan nilai pemberat-pemberat hujung iaitu  $w_0$  dan  $w_3$ . Manakala pengawalan bentuknya sama ada ia cembung atau berlengkokbalas adalah melalui pasangan nilai pemberat-pemberat pendalaman  $w_1$  dan  $w_2$  yang sesuai.



Rajah 5.1



Rajah 5.2

## Rujukan

- [1] Jamaludin M. Ali . *Geometric Control of Planar Curves. PhD thesis: School of Manufacturing, The University of Birmingham, Edgbaston, Birmingham, U.K. 1994.*
- [2] Jamaludin M. Ali, *An Alternative Derivation of Said Basic Function, Sains Malaysiana, Universiti Kebangsaan Malaysia, Vol 23(3), 1994.*
- [3] Gerald E. Farin, *Computer Aided Geometric Design: A Practical Guide*, New York: Academic Press, 1996.
- [4] Duncan Marsh, *Applied Geometry for Computer Graphics and CAD*, London: Springer-Verlag Limited, 1999.